



## Research Article

Vol. ?, No. ?, ?, p. ?-? (in Press)

## Design, Construction, and Optimization of Performance of Electrodynamic Spraying Head of Atomizer Motorized Knapsack Sprayer

**M. Rezaei<sup>1</sup>, J. Khodaei<sup>1\*</sup>, B. Astinchap<sup>2</sup>**

1- Department of Biosystems Engineering, Faculty of Agriculture, University of Kurdistan, Sanandaj, Iran

2- Department of Physics, Faculty of Science, University of Kurdistan, Sanandaj, Iran

(\*- Corresponding Author Email: [j.khodaei@uok.ac.ir](mailto:j.khodaei@uok.ac.ir))

Received: 01 December 2022

**How to cite this article:**

Revised: 01 February 2023

Rezaei, M., Khodaei, J., &amp; Astinchap, B. (?). Design, Construction, and Optimization of

Accepted: 27 February 2023

Performance of Electrodynamic Spraying Head of Atomizer Motorized Knapsack Sprayer.

Available Online: 27 February 2023

*Journal of Agricultural Machinery*. (in Persian with English abstract). (in Press).<https://doi.org/10.22067/jam.2023.79865.1134>

### Introduction

Due to the increasing need for agricultural products, protection of products against pathogens and preventing them from being wasted is important. Studies on droplet charging systems result in the reduction of chemical usage and an increase in the deposition of droplets on the target. Conventional sprayers used in Iran have numerous disadvantages such as drift, environmental pollution, lack of complete and homogeneous coverage of the spraying surface, phytotoxicity, and crop losses. Therefore, evaluation of new spraying methods and using a variety of electrical sprayers as alternatives to conventional spraying is essential. This study aims to design, construct, and optimize the performance of the electrodynamic head of an atomizer motorized knapsack sprayer, and study the effects of the angle of the target position, spraying distance, and wind speed on the performance of the electrodynamic sprayer.

### Materials and Methods

Experiments were performed in an agricultural machinery workshop at The Department of Biosystems Engineering, the University of Kurdistan, Iran, with an atomizer motorized knapsack sprayer equipped with an electrodynamic head. The effect of some factors including wind speed, spraying angle, and spraying distance on deposition, coverage percentage, and uniformity of spraying were investigated. These effects were investigated to determine the uniformity coefficient of total spraying. Design Expert 8.0.6 Trial software was used to design the experiments based on central composite design and to analyze the data. The investigated factors and levels were: the distance of nozzles from the target (at three levels of 2, 4, and 6 m), the angle of the target position (at three levels of 0, 45, and 90 degrees), and wind speed (at three levels of 2.5, 3, and 3.5 m s<sup>-1</sup>). Water-sensitive paper cards were used to evaluate the quality of the spraying. The cards were scanned and magnified with an Olympus SZX12 Stereo Microscope equipped with an objective lens of X1 and a total magnification of 7X. The characteristics of droplet size were determined using Mountains Map Trial and Deposit Scan software.

### Results and Discussion

The maximum value of the total spraying uniformity coefficient was equal to 1.95 for the spraying angle of 0 degrees, the distance of 6 meters, and the speed of 3.5 meters per second. Meanwhile, the lowest value of the spray uniformity coefficient of 1.18 was obtained for the test conditions of 90 degrees, distance of 2 m, and speed of 2.5 m s<sup>-1</sup>, respectively. Based on analysis of variance for the two-factor interactions model (P-value less than 0.0001, explanation coefficient 0.9383, absolute explanation coefficient 0.910, standard deviation 0.0590, and coefficient of variation 3.790%). It can be stated that this model is highly accurate in predicting the uniformity of the total spraying, and the linear components of spraying angle and spraying distance, as well as the interaction of spraying angle × spraying distance and spraying distance × wind speed, significantly affect the uniformity of the total spraying ( $p<0.05$ ). Nevertheless, the linear component of wind speed and the interaction between wind speed and spraying angle had no significant effect on the changes in the uniformity coefficient of the total spray. According



©2023 The author(s). This is an open access article distributed under Creative Commons Attribution 4.0 International License (CC BY 4.0).

<https://doi.org/10.22067/jam.2023.79865.1134>

to the variance analysis table (F-values), spraying distance has a far greater effect on the spraying uniformity coefficient than the spraying angle.

It has been observed that the spraying uniformity coefficient will increase by increasing the spraying distance and decreasing the spraying angle. It can also be stated that the linear components of spraying angle and spraying distance, the interaction component of spraying angle  $\times$  spraying distance, and the square power of the components of spraying distance and wind speed have a significant effect on surface coverage. The values of  $R^2$ , Adj- $R^2$ , CV, and PRESS for the model adapted to the test data of leaf surface coverage percentage were obtained as 0.9929, 0.9865, 4.87%, and 188.61, respectively.

Among the three input variables, the spraying distance has the greatest effect on the coverage of water-sensitive papers. At larger spraying angles, especially 90 degrees, the coverage decreased with the increasing distance. At spray angle of 90 degrees, by increasing the distance from 2 to 4 m, the spray uniformity coefficient increased from 1.18 at a wind speed of  $2.5 \text{ m s}^{-1}$  to 1.84 at a wind speed of  $3.5 \text{ m s}^{-1}$ . However, at smaller spraying angles (for example zero-degree angle), at first, the spraying coverage increases with the increase of the spraying distance from 2 to 3 m and then sharply decreases afterward. According to the contours of spray coverage, in the spray distance range of 4 to 6 m and regardless of wind speed, the spray coverage does not vary with the increase of the spraying angle ( $p < 0.05$ ). Meanwhile, in the spray distance range of 2 to 4 m, with the increase of the spraying angle, the spraying coverage increases significantly ( $p < 0.05$ ). Overall, increasing the distance between the sprayer and the target decreased the surface coverage on the target, and in electrodynamic spraying, the uniformity of particle deposition on the underside of the target was relatively the same as on the upper side.

## Conclusion

To improve the performance of the atomizer motorized knapsack sprayer, an electrodynamic spraying head was designed and built, and its performance was optimized using the response surface method (RSM) with a central composite design. During the research process, the influence of the independent parameters such as the distance between the nozzle and the target, the angle of the target position, and the wind speed on the variables including spraying uniformity, the percentage of the spraying coverage, and the percentage of changes in the total spraying coefficient were discussed and investigated. The results of the research led to the determination of the  $3.5 \text{ m s}^{-1}$  wind speed, 2.5 m sprayer distance, and 90 degrees spraying angle with 0.792 desirability, which were considered as the optimal performance conditions of the electrodynamic spraying head. The results of laboratory validation for optimal conditions show that the uniformity of total spraying indicated by the total relative span factor (RSFT) and the percentage of spraying coverage (Cov) are equal to 1.65 and 28.27%, respectively.

**Keywords:** Electrodynamic head, Response surface method, Spraying angle, Sprayer, Uniformity coefficient, Wind speed

## مقاله پژوهشی

جلد؟، شماره؟، آماده انتشار، ص؟-

## طراحی، ساخت و بهینه‌سازی عملکرد کلاهک پاشش الکترودینامیکی سمپاش پشتی موتوری ذره‌ای پاش

مریم رضائی<sup>۱</sup>، جلال خدائی<sup>۲\*</sup>، بندر آستین چپ<sup>۳</sup>

تاریخ دریافت: ۱۴۰۱/۰۹/۱۰

تاریخ پذیرش: ۱۴۰۱/۱۲/۰۸

## چکیده

افت زیاد مواد شیمیایی، بادردگی و نشست خارج از هدف سمپاش‌های متداول در ایران، مطالعه روی سمپاش‌های باردارکننده سم را ضروری می‌سازد. به همین منظور یک کلاهک الکترودینامیکی طراحی و ساخته شد. در این تحقیق از روش سطح پاسخ برای بهینه‌سازی عملکرد کلاهک پاشش الکترودینامیکی در سمپاش پشتی موتوری ذره‌ای پاش استفاده شده است. پارامترهای فاصله افسانک تا هدف (شامل سه سطح ۴، ۲ و ۶ متری)، زاویه قرارگیری هدف (شامل سه سطح صفر، ۴۵ و ۹۰ درجه) و سرعت باد (شامل سه سطح ۲/۵، ۳ و ۳/۵ متر بر ثانیه) به عنوان پارامترهای مستقل و یکنواختی پاشش و درصد سطح پاشش به عنوان متغیرهای وابسته مورد ارزیابی قرار گرفتند. نتایج تجزیه واریانس نشان داد که مولفه‌های خطی زاویه پاشش و فاصله پاشش و هم‌چنین برهم کنش زاویه پاشش، فاصله پاشش و فاصله پاشش سرعت باد، دارای تاثیر معنی داری بر تغییرات ضربیت پاشش کل می‌باشند ( $p < 0.05$ ). بیشترین ضربیت یکنواختی پاشش کل برابر با ۱/۹۵ برای زاویه قرارگیری هدف صفر درجه، فاصله ۶ متری و سرعت ۳/۵ متر بر ثانیه و کمترین مقدار این ضربیت برابر با ۱/۱۸ برای زاویه قرارگیری هدف ۹۰ درجه، فاصله پاشش ۲ متر و سرعت باد ۲/۵ متر بر ثانیه به دست آمده است. مدل ریاضی ارائه شده برای پیش‌بینی تغییرات ضربیت یکنواختی پاشش و درصد سطح پاشش از دقت بسیار بالایی برخوردار می‌باشد. ضربیت یکنواختی پاشش با افزایش سرعت باد و فاصله پاشش افزایش یافته است ( $p < 0.01$ ). در محدوده فاصله پاشش ۲، ۴ و ۶ متری، با افزایش زاویه پاشش مقدار سطح پاشش به طور معنی داری افزایش یافته است ( $p < 0.05$ ). شرایط بهینه برای عملکرد کلاهک الکترودینامیکی ساخته شده در سرعت ۳/۵ متر بر ثانیه، فاصله پاشش ۲/۵۸ متر و زاویه پاشش ۹۰ درجه با مطلوبیت ۷۹۲/۰ به دست آمد.

**واژه‌های کلیدی:** زاویه قرارگیری، سرعت باد، سطح پاسخ، سمپاش، ضربیت یکنواختی، کلاهک الکترودینامیکی

## مقدمه

سم و نحوه پخش آن‌ها روی اهداف بیولوژیک از نقطه نظر تاثیر آفت‌کش تا چه حد حائز اهمیت بوده و نقش بهسازی در تعیین کمیت و کیفیت عملیات مبارزه دارد (Cunha, Carvalho, & Marcal, 2012; Mishra, Singh, Sharma, Sharma, & Singh, 2014; Kumar Narang, Mishra, Kumar, Singh Thakur, & Singh, 2015).

در چند دهه اخیر پیشرفت‌هایی در زمینه طراحی، ساخت، کاربرد، بهینه‌سازی و روش ارزیابی سمپاش‌ها آغاز شده است. فن آوری‌های رباتیک و پاشش خودکار مانند سمپاش‌های نرخ متغیر، سمپاشی به کمک پهپاد، سمپاش‌های الکترواستاتیکی، سمپاشی به کمک فرآیند ماشین و ارزیابی سمپاش‌ها به کمک پردازش تصویر در حال رشد هستند تا میزان بهره‌وری از آفت‌کش‌ها، کاهش بقایای

با توجه به نیاز روزافرونه به محصولات کشاورزی، محافظت از محصولات در مقابل عوامل بیماری‌زا و جلوگیری از اتلاف آن‌ها، دارای اهمیت بهسازی است. سمپاش‌های مرسوم در ایران دارای علیب زیادی نظریه بادردگی و آلدگی محیط‌زیست، عدم پوشش کامل و یکنواخت سطح مورد سمپاشی، گیاه‌سوزی، ضایعات زیاد محصول و تلفات زیاد محلول سم هستند. بنابراین ارزیابی روش‌های نوین سمپاشی و به کارگیری انواع سمپاش‌های الکتریکی به عنوان جایگزین سمپاش‌های مرسوم امری ضروری است. نتیجه تحقیقات در سال‌های گذشته نشان داده است که اندازه و چگالی قطرات محلول

۱- دانش آموخته کارشناسی ارشد، گروه مهندسی بیوسیستم، دانشکده کشاورزی، دانشگاه کردستان، سنندج، ایران

۲- استادیار، گروه مهندسی بیوسیستم، دانشکده کشاورزی، دانشگاه کردستان، سنندج، ایران

۳- دانشیار، گروه فیزیک، دانشکده علوم پایه، دانشگاه کردستان، سنندج، ایران

(\*)- نویسنده مسئول: (Email: [j.khodaei@uok.ac.ir](mailto:j.khodaei@uok.ac.ir))

بادردگی دارند، درنتیجه نشست روی هدف کاهش می‌باید (Farooq *et al.*, 2010)

بالا بردن قابلیت اجرایی و بازده سیستم‌ها در فرآیند سمپاشی بهدلیل خطرات زیست‌محیطی مصرف بالای آفت‌کش‌ها و کاهش هزینه‌های مصرفی، از اهمیت بالای برخودار می‌باشد. روش‌های متعددی برای بهینه نمودن و تحلیل و مدل‌سازی یک فرآیند ارائه شده است که می‌توان در این میان به روش‌هایی همچون الگوریتم ژنتیک، تاگوچی، شبکه‌های عصبی مصنوعی، ضرایب لاغرانژ، نیوتون، سطح پاسخ و غیره اشاره نمود. روش سطح پاسخ مجموعه‌ای از روش‌های آماری و ریاضی است که برای مدل کردن و تجزیه و تحلیل مسائلی که در آن متغیر پاسخ تحت تأثیر چندین متغیر مستقل می‌باشد، بسیار مفید است. هدف از این تحلیل بهینه کردن متغیرهای پاسخ می‌باشد. روش سطح پاسخ کاربرد قابل توجهی در طرح‌بیزی، توسعه، فرموله کردن فرآیندها و همچنین ارتقای طراحی سیستم‌های موجود دارد. مدل ریاضی ارائه شده در این روش به توضیح فرآیند و تأثیر هر کدام از پارامترها و همچنین لثرات مقابله آن‌ها می‌پردازد (Witek, Krowiak, Chojnacka, Podstawczyk, Dawiec, & Pokomeda, 2014).

در تحقیقی نمونه اولیه‌ای از سمپاش باعی مبتنی بر فن‌آوری ماشین بینایی و ساخته شده براساس ساختار تاج درخت و میزان سبزینه مورد ارزیابی قرار گرفت و عملکرد سمپاش در باغ زیتون در دو حالت مختلف سمپاشی به صورت سراسرپاشی و سمپاشی منقطع هدف‌دار و همچنین در سه سرعت پیش‌روی ۲/۳ و ۵/۵ کیلومتر بر ساعت مقایسه گردید. نتایج نشان داد در کاربرد سمپاش طراحی شده جدید برای باغ زیتون، مصرف سم تقریباً ۵۴ درصد کاهش یافت و

بهره‌وری بهبود یافت (Asaei, Jafari, & Loghavi, 2016).

در پژوهش دیگری محققان به مقایسه و ارزیابی فنی سمپاش‌های الکتروستاتیکی، میکرونر و پشت تراکتوری لانس‌دار در کنترل آفت کرم سیب پرداختند و نتایج نشان داد که یکنواختی قطرات در روی برگ‌ها در سمپاش‌های الکتروستاتیکی و میکرونر با ۳۰° قطره در سانتی‌متر مربع بهتر از نوع سمپاش لانس‌دار و در پشت برگ‌ها، سمپاش الکتروستاتیکی با تعداد ۱۶ قطره در سانتی‌متر مربع دارای پوشش مناسب‌تری بود. از نظر درصد کنترل آفت کرم سیب، بررسی تعداد نمونه‌های سیب سالم و آفت‌زده نشان داد که سمپاش لانس‌دار با میانگین ۱۸/۸ درصد در مقایسه با دو روش دیگر دارای کمترین اثربخشی در کنترل آفت کرم سیب بود (Amirshaghaghi & Safari, 2016).

هدف از این مطالعه طراحی و ساخت یک کلاهک الکترودینامیکی و بهینه‌سازی اثرات پارامترهای زاویه قرارگیری هدف، فاصله پاشش و

آفت‌کش‌ها بر روی گیاه، زمان واقعی، صرفه‌جویی در هزینه و قابلیت سازگاری بالا با حفاظت از گیاه را، افزایش دهنده. این فن‌آوری‌ها در زیر چتر کشاورزی دقیق قرار می‌گیرند و نه تنها هزینه نیروی کارگری را کاهش می‌دهند بلکه در حفاظت از محیط‌زیست نیز بسیار موثر هستند (Ahmad, Khalil, Qiu, & Sultan, 2021; Patel, 2016; Zhang, Lian, & Zhang, 2017; Indu Baghel, Bhardwaj, & Ibrahim, 2022; Mousavi & Baradaran Motie, 2021; Behzadi Pour, Ghasemi Nejad Raeeni, Asoodar, Marzban, & Abdanan Mehdizadeh, 2017; McNearney & Hons, 2020).

سمپاشی موفق، به پوشش کامل هدف، که به طور یکنواخت توزیع شده باشد، بستگی دارد (Cunha *et al.*, 2012). پاشش قطرات باردار سم از جمله روش‌های موثری است که با بهره‌گیری از ویژگی‌های پتانسیل صفرگیاه، موجب شکل‌گیری میدان جاذبه الکتریکی میان ابرافشانه و سطح گیاه شده و منجر به افزایش جذب و نشست سم برروی هدف می‌شود (Farooq, Walker, Heintschel, & English, 2010; Yang *et al.*, 2015; Moltó *et al.*, 2017; Haji Agha Alizadeh, Pourvosoughi Gregari, & Bakhtiari, 2018). در افشاگری‌های باردار کننده هرچند میزان بار قطرات سم کوچک می‌باشد، ولی نیروی الکتریکی که ذرات را به طرف گیاه می‌کشد، خیلی بزرگ‌تر از نیروی نقل است، بدین معنی که هنگام رسیدن قطرات سم به اطراف گیاه، جهت حرکت آن‌ها بر عکس شده و بر ضد نیروی نقل به طرف بالا حرکت کرده و تشکیل کمرنده (Mostafaei Minagh, Ghobadian, & Jahannama, 2008). بنابراین، پاشش‌های باردار شده الکتریکی قابلیت انتقال قطرات بیشتر به سطح رویی و زیرین محصول را افزایش، میزان سم مصرفی را کاهش و در نهایت سبب بهبود عملکرد سمپاشی در مقایسه با سمپاش‌های رایج می‌گردد. علاوه براین یک کلاهک سمپاش الکتروستاتیکی نرخ جریان را تا ۳۱ درصد نسبت به نرخ متدالوک افزایش می‌دهد. قطرات ایجاد شده به وسیله کلاهک الکتروستاتیکی تمایل بیشتری دارند که ازین شاخ و برگ اهداف به وسیله جریان هوای کمکی عبور کنند. ولی جذب قطرات روی هدف در سمپاش الکتروستاتیکی کم دوام و میزان پاشش روی هدف کم است. در این سیستم بار الکتریکی کافی به قطرات سم القا نشده و همین امر سبب پایین آمدن نشست قطرات سم بر روی هدف می‌گردد (Farooq *et al.*, 2010; Matthews, Bateman, & Miller, 2014).

بررسی تاثیر ترکیبی عواملی مانند نرخ جریان، اندازه قطره و جریان هوا نشان داده است که برای طیف‌های مختلفی از اندازه قطرات، کاهش نرخ جریان موجب چگالی کمتر ابر پاشش می‌شود. قطرات کوچک‌تر دریک ابرپاشش با غلظت کم تمیل بیشتری به

است. در این حالت برای باردارکردن قطرات خروجی، از روش القایی با ولتاژ ۱۲ کیلوولت و جریان الکتریکی ۳۰ میلی‌آمپر استفاده شده است. خروجی مدار ولتاژ بالا به یک حلقه فلزی متصل شد. این حلقه در داخل شیاری واقع در بدنه پلاستیکی محاط بر افسانک و نزدیک به نوک آن قرار گرفته است. الکترود حلقوی عامل القای بار بر روی مایع می‌باشد (القاگر)، لذا باید در مجاورت مایع قرار گیرد. الکترود باید قبل از لحظه خردشدن مایع به قطرات، اثر خود را روی مایع گذاشته و باز الکتریکی را بر روی آن القا نماید. با توجه به این که مایع خود در پتانسیل زمین می‌باشد، بنابراین با قرار دادن الکترود حلقوی در مقابل نقطه خروج قطرات از افسانک، می‌توان بار الکتریکی را بر روی مایع، درست قبل از خردشدن، القا نمود. در این حالت قطرات قبل از خردشدن، توسط الکترود باردار می‌شوند و سپس به ذرات باردار ریزی تبدیل می‌شوند. برای جلوگیری از خیس شدن حلقة از یک لایه سیارنازک برای پوشاندن الکترود استفاده شد.

**انجام آزمایش‌ها:** برای ایجاد سطوح مختلف هوا از یک دمنده پرهای (پنکه) با قابلیت کنترل سرعت دمنده استفاده شد. پنکه در فاصله یک متر در پشت افسانک و درجهت سمت‌پاشی قرار داده شد. سرعت هوا طی آزمایش‌ها توسط بادسنجد پرهای LutronAM(-4206M, Taiwan) در فاصله یک متری جلو پنکه اندازه‌گیری شد. آزمایش‌ها با توجه به محدودیت زمانی در دو روز مختلف و در دمای هوای ۱۶ درجه سلسیوس برای آزمایش حالت الکترودینامیکی و ۲۴ درجه سلسیوس برای آزمایش الکتروستاتیکی و ۳۴ درصد برای آزمایش الکترودینامیکی انجام گرفت. اندازه‌گیری دما و رطوبت محیط با استفاده از دستگاه رطوبت‌سنج مدل HT-3009 صورت گرفت. از یک صفحه آلومینیومی با ابعاد ۳×۷ سانتی‌متر به عنوان هدف استفاده شد. صفحه مذکور در ارتفاع دو متری از سطح زمین بر روی یک پلیه فلزی متصل به پتانسیل صفر زمین نصب شد. برای جلوگیری از تاثیر نیروهای الکتریکی بین قطرات و پایه فلزی، پایه توسط پلاستیک عایق کاملاً پوشانیده شد. محل اتصال صفحه آلومینیومی به پایه فلزی لولا بوده تا به راحتی بتوان زاویه قرار گیری هدف با سمت‌پاش را تغییر داد (شکل ۲).

سرعت وزش باد بر عملکرد کلاهک الکترودینامیکی در سمت‌پاش پشتی موتوری ذره‌ای پاش SH.CO (مدل 423، شرکت مهندسی صنعتی شاخص، ایران) منضم به کلاهک الکتروستاتیکی (ساخت شرکت احسان تحقیق و استه به مرکز تحقیقات مهندسی جهاد کشاورزی آذربایجان شرقی) با حجم مخزن ۱۲ لیتر، حجم هوا برای افسانک ۶۸۰ متر مکعب در ساعت و سرعت خروج هوا ۱۰۰ متر بر ثانیه استفاده گردید. آزمایش‌ها در بهار و تابستان سال ۱۳۹۵ در کارگاه ماشین‌های کشاورزی گروه مهندسی بیوسیستم دانشکده کشاورزی دانشگاه کردستان انجام شد.

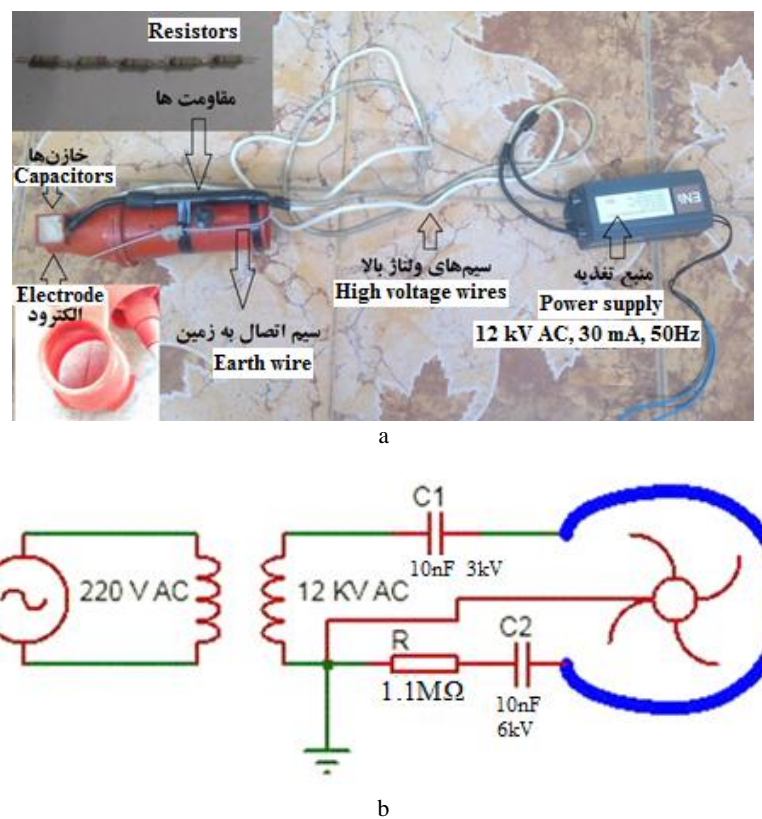
## مواد و روش‌ها

### تجهیزات و شرایط آزمایش‌ها

**سم‌پاش:** برای انجام آزمایش‌ها از سم‌پاش پشتی موتوری ذره‌ای پاش SH.CO (مدل 423، شرکت مهندسی صنعتی شاخص، ایران) منضم به کلاهک الکتروستاتیکی (ساخت شرکت احسان تحقیق و استه به مرکز تحقیقات مهندسی جهاد کشاورزی آذربایجان شرقی) با حجم مخزن ۱۲ لیتر، حجم هوا برای افسانک ۶۸۰ متر مکعب در ساعت و سرعت خروج هوا ۱۰۰ متر بر ثانیه استفاده گردید. آزمایش‌ها در بهار و تابستان سال ۱۳۹۵ در کارگاه ماشین‌های کشاورزی گروه مهندسی بیوسیستم دانشکده کشاورزی دانشگاه کردستان انجام شد.

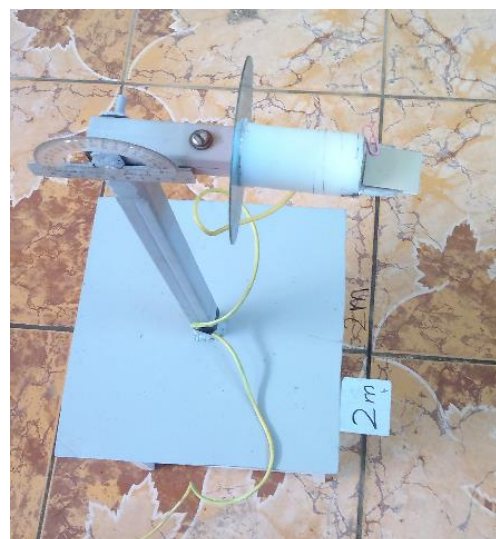
**کلاهک الکترودینامیکی:** مدار الکتریکی با استفاده از نرمافزار Proteus Professional 7.9 sp1 طراحی شد و کمترین مقاومت مورد نیاز برای کاهش جریان الکتریکی و خطر برق گرفتگی ۱/۱ مگا‌اهم (با استفاده از سری کردن ۵ عدد مقاومت ۲۲۰ کیلواهرم) محاسبه شد (Halliday, Resnick, & Walker, 2010). همچنین یک خازن ۳ کیلوولت در سر راه ورودی الکترود و یک خازن ۶ کیلوولت هر کدام به ظرفیت ۱۰ نانوفاراد در سر راه خروجی الکترود در کلاهک الکتروستاتیکی قرار گرفت. از خازن‌ها در مدار برای صاف کردن سطح تغییرات ولتاژ مستقیم و در کلاهک الکترودینامیکی به عنوان فیلتر هم استفاده می‌شود. زیرا خازن‌ها به راحتی سیگنال‌های غیرمستقیم AC را عبور می‌دهند ولی مانع عبور سیگنال‌های مستقیم DC می‌شوند. در حالت جریان متناوب خازن‌ها برای کاهش جریان نیز به کار می‌رند. در واقع وقتی ولتاژ خازن‌ها حداقل است جریان عبوری از آن‌ها صفر خواهد بود. در جریان متناوب خازن مدام شارژ و دشارژ می‌شود و با کاهش ولتاژ روی خازن جریان به حداقل می‌رسد. این مدار الکتریکی جایگزین مدار الکتروستاتیکی گردید.

تصویر کلاهک الکترودینامیکی ساخته شده در این تحقیق در شکل (a-1) و مدار الکتریکی مربوطه در شکل (b-1) نشان داده شده



شکل ۱ - a- سامانه هدالکترودینامیکی، b- مدار الکتریکی سامانه

Fig.1. Electrodynamic spraying head system a) image and b) schematic circuit diagram



شکل ۲- پایه فلزی متصل به زمین

Fig.2. Metal stand with ground connection

برای تنظیم زاویه کارت‌ها نصب شده است و بدراحتی می‌توان زاویه قرارگیری کارت حساس به آب را نسبت به راستای جریان افشاری تغییر داد. تصویر دیجیتال کارت‌ها با استفاده از استریومیکروسکوپ مدل Olympus SZX12 با لنز شیائی X1 با بزرگنمایی ۷ برابر تهیه

برای بررسی چگونگی نشست قطرات روی سطح جلوبی و پشت هدف، کاغذهای حساس به آب (ساخت شرکت کشتپوش تهران، ایران) روی سطوح جلوبی و پشتی صفحه آلومینیومی قرار داده شد. صفحه مذکور قابل چرخش بوده و در قسمت متحرک آن نقاله‌ای

شد (شکل ۳).



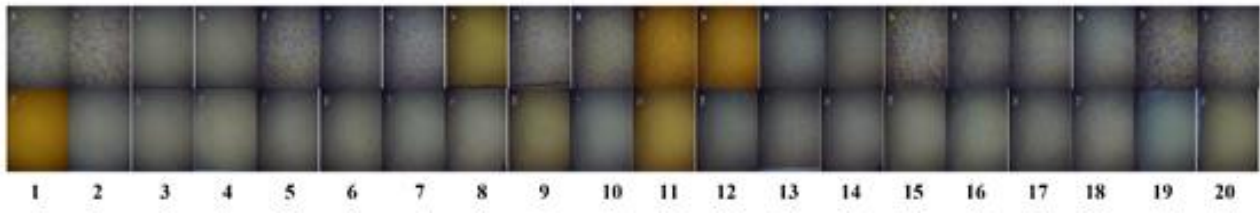
شکل ۳- استریو میکروسکوپ مدل Olympus SZX12 با لنز شی‌ای X1 و بزرگنمایی ۷ برابر

**Fig.3.** Olympus SZX12 stereo microscope with X1 objective lens and 7x magnification

الکترودینامیکی آورده شده است (شکل ۴).

مساحت پاشش، اندازه و تعداد قطرات به عنوان متغیرهای وابسته برای یک سانتی‌متر مربع از هر کدام از تصاویر بزرگنمایی شده به کمک نرم افزارهای پردازش تصویر MountainsMap Trial (شرکت DepositScan و Digital Surf) اندازه‌گیری شد.

در مجموع ۸۰ تصویر از کارت‌های حساس به آب تهیه شد: ۲۰ تصویر مربوط به آزمایش الکتروستاتیکی روی هدف، ۲۰ تصویر مربوط به آزمایش الکتروستاتیکی پشت هدف، ۲۰ تصویر مربوط به آزمایش الکترودینامیکی روی هدف و ۲۰ تصویر مربوط به آزمایش الکترودینامیکی پشت هدف، که در اینجا تصاویر آزمایش



شکل ۴- نتایج حاصل از آزمایش سپاهش الکترودینامیکی روی هدف (ردیف بالا) و پشت هدف (ردیف پایین)

**Fig.4.** Results of electrodynamic sprayer testing on the upper side of the target (top row) and underside of the target (bottom row)

یکنواختی (محدوده پاشش) RSF<sup>1</sup> با استفاده از رابطه (۱) محاسبه می‌شود (Bayvel & Orzechowski, 1993; Hoffmann & Hewitt, 2005; Cunha *et al.*, 2012; Sayinci, Bastabanc & Sánchez-Hermosilla; 2012; Ferguson *et al.*, 2015)

$$RSF = \frac{D_{v0.9} - D_{v0.1}}{D_{v0.5}} \quad (1)$$

از آنجایی که پاشش‌ها در هر دو سمت هدف از اهمیت یکسانی برخودار هستند، ضریب یکنواختی پاشش کل (RSFT<sup>2</sup>) از رابطه (۲) محاسبه شد:

$$RSFT = \frac{RSF_u + RSF_d}{2} \quad (2)$$

2- Total relative diameter span factor

#### یکنواختی پاشش

متداول‌ترین واژه‌ای که برای تشریح طیف اندازه قطره پاشیده شده در کشاورزی به کار می‌رود قطر میانه حجمی است ( $D_{v0.5}$ ) که واحد آن میکرون است. دو پارامتر اختیاری دیگر که برای تشریح بیشتر توزیع از میانه استفاده می‌شوند،  $D_{v0.1}$  و  $D_{v0.9}$  هستند. این پارامترها نسبت حجم پاشش (به ترتیب ۱۰ و ۹۰ درصد) قطراتی با اندازه مورد نظر یا کوچک‌تر را شامل می‌شوند. اغلب برای تخمین بخشی از پاشش که قابلیت بادبردگی را دارد به کار می‌رود. محدوده مورد نظر یک لندازه‌گیری عرض قطره اطراف  $D_{v0.5}$  است و ضریب

1- Relative diameter span factor

صفر یا مرکزی (۰)، مقداری بین کمینه و بیشینه است. درآزمایش‌های طراحی شده گاهی لازم است به طور هم‌زمان چند پاسخ را بهینه‌سازی کرد. رویکرد معمول برای این کار بهره‌گیری ازتابع مطلوبیت برای یافتن مقادیری از عوامل کنترلی است که بیش‌ترین مطلوبیت را ایجاد می‌کنند. این روش که اولین بار توسط هارینگتون (Harrington, 1965) ارایه گردید، برای بهینه‌سازی مستقل چندپاسخی، پرکاربردترین روش است. ایده این روش، بر ترکیب پاسخ‌ها در قالب یک مسئله تک‌پاسخی و بهینه نمودن تابع به دست آمده است (Derringer & Suich, 2018). در این روش مطلوبیت آماری بین صفر و یک تعیین شده که مقدار پایین آن بیان‌گر عدم نیل به هدف تعیین شده و سطح بالای آن بیان‌گر نیل به هدف به طور کامل می‌باشد. وقتی هدف بهینه کردن چندین پاسخ به هدف به طور کامل است، مطلوبیت هریک از پاسخ‌ها به صورت جداگانه مشخص شده و سپس از میانگین هندسی شان به عنوان معیار برآورده کننده هدفها به صورت هم‌زمان استفاده می‌شود. به منظور بهینه‌سازی پاسخ در این تحقیق از تابع مطلوبیت استفاده شد. در این حالت هر دو پاسخ سیستم (یکنواختی پاشش کل و درصد سطح پاشش) باستی حداکثر و متغیرهای ورودی در محدوده آزمایش در نظر گرفته شوند.

که در آن،  $RSF_u$  و  $RSF_d$  به ترتیب بیانگر ضریب یکنواختی پاشش سطح رویی و زیرین هدف می‌باشند.

### طرح آزمایش‌ها

به منظور ارزیابی اثرات پارامترهای مستقل بر یکنواختی پاشش از روش سطح پاسخ و طرح مرکب مرکزی استفاده شد. فاصله افسانک تا هدف (شامل سه سطح ۴، ۲ و ۶ متری)، زاویه قرارگیری هدف (شامل سه سطح صفر، ۴۵ و ۹۰ درجه) و سرعت باد (شامل سه سطح ۲/۵، ۳ و ۳/۵ متر بر ثانیه) (Mahmoudi, Heidarbeigi, & Azizpanah, 2019) به عنوان پارامترهای تاثیرگذار مستقل در جدول ۱ به فرم کدشده و کدنشده نشان داده شده‌اند. در روش سطح پاسخ دامنه انتخاب شده برای هر فاکتور اهمیت زیادی دارد. دامنه هر فاکتور باید کدبندی شده و در محدوده ۱ تا ۱ قرار گیرد. تا تحلیل رگرسیون به خوبی انجام پذیرد. در حالت مرکز وجهی حدود بیشینه و کمینه با کد سطح‌های (+1) و (-1) مشخص می‌شوند که تنها اطلاعاتی هستند که با توجه به مطالعات و ایده پژوهش، برای سطوح هر متغیر باید در اختیار نرم‌افزار آماری قرار گیرند. به این ترتیب سطوح دوم یا همان سطوح وسط، با توجه به سه سطح بودن آزمایش‌ها، به عنوان سطح

**جدول ۱**- مقادیر متغیرهای مستقل و سطوح اختصاص‌داده شده به آن‌ها

Table 1- Values of independent variables and their levels

محدوده و سطوح (کدشده)			نماد		پارامترهای مستقل	
Bound and Levels (Coded)			Symbol	کدنشده Coded	کدنشده Uncoded	Independent parameters
-1	0	1				
2	4	6	$x_1$	D		فاصله افسانک (متر) Nozzle distance (m)
0	45	90	$x_2$	$\beta$		زاویه قرارگیری (درجه) Angle of placement (deg)
2.5	3	3.5	$x_3$	u		سرعت باد (متر بر ثانیه) Wind speed ( $m s^{-1}$ )

متغیرهای خطی و  $\alpha_{ij}$  ضرایب اثرات متقابل دوگانه متغیرها می‌باشند. جدول ۲ نشان‌دهنده ماتریس طرح مرکب مرکزی با ۲۰ واحد آزمایشی (یا ۶ نقطه مرکزی) می‌باشد. برای کاهش مقدار خطأ، هر کدام از آزمایش‌ها در سه تکرار انجام و مقدار میانگین به عنوان نتیجه بیان شد.

به منظور بررسی ارتباط بین متغیرهای مستقل با متغیرهای پاسخ از رابطه (۳) استفاده شد

(Kathleen, Carley, Kamneva, & Reminga, 2004)

$$Y_i = \alpha_0 + \sum_{i=1}^3 \alpha_{ij} x_i + \sum_{j=1}^3 \alpha_{ij} x_i x_j + \sum_{i=1}^3 \alpha_{ij} x_i^2 \quad (3)$$

که در آن،  $y_i$  پاسخ‌های پیش‌بینی شده،  $x_i$  متغیرهای کدشده متغیرهای طبیعی (مستقل)،  $n$  تعداد متغیرها،  $\alpha_0$  ثابت مدل،  $\alpha_{ij}$  ضرایب

## جدول ۲- طرح مرکب مرکزی استفاده شده در آزمایش‌ها و مقادیر اندازه‌گیری شده پاسخ

Table 2- Central composite design used in the experiments and the resulting response

Run no.	$\beta$ (degree)	D (m)	u ( $m s^{-1}$ )	Response (Y)				
				RSFT	Cov (%)	D <sub>v0.1</sub> ( $\mu m$ )	D <sub>v0.5</sub> ( $\mu m$ )	D <sub>v0.9</sub> ( $\mu m$ )
1	0	2	2.50	1.52	21.88	162.62	408.43	782.10
2	90	2	2.50	1.18	27.98	225.34	466.85	777.74
3	0	6	2.50	1.70	7.08	116.24	269.97	574.86
4	90	6	2.50	1.83	7.18	98.00	268.73	588.50
5	0	2	3.50	1.33	19.58	223.14	411.54	769.36
6	90	2	3.50	1.25	30.68	185.90	493.39	804.00
7	0	6	3.50	1.95	6.78	91.80	250.50	580.08
8	90	6	3.50	1.81	6.88	80.56	246.41	525.76
9	0	4	3.00	1.62	22.73	148.45	325.42	676.60
10	90	4	3.00	1.52	26.33	147.45	347.10	674.00
11	45	2	3.00	1.32	25.93	199.25	442.46	783.30
12	45	6	3.00	1.82	7.13	96.65	258.60	567.30
13	45	4	2.50	1.56	21.93	150.55	340.78	680.80
14	45	4	3.50	1.58	21.13	145.35	331.09	669.80
15	45	4	3.00	1.55	24.19	147.95	342.64	680.10
16	45	4	3.00	1.61	23.72	147.95	337.31	674.80
17	45	4	3.00	1.57	23.01	147.95	334.39	672.20
18	45	4	3.00	1.50	23.78	147.95	352.10	676.10
19	45	4	3.00	1.59	24.01	147.95	344.52	675.30
20	45	4	3.00	1.51	23.19	147.95	341.40	673.01

یکنواختی پاشش بر حسب متغیرهای ورودی در شکل ۵ نشان داده است.

همان‌گونه که مشاهده می‌شود، می‌توان بیان داشت که ضریب یکنواختی پاشش با افزایش فاصله پاشش و کاهش زاویه پاشش، افزایش یافته است. دلیل آن می‌تواند این باشد که در فواصل کمتر، نشست قطرات پاشیده شده در سطح رویی و زیرین هدف بیشتر است و از تلاقی و بهم پیوستگی این قطرات، ذراتی با قطر میانه حجمی بالاتر تشکیل می‌شود. این نتیجه با یافته‌های پژوهش‌گرانی که بر روی سه‌پاش‌های الکتروستاتیکی تحقیق کرده‌اند مطابقت دارد (Sasaki *et al.*, 2012; Haji Agha Alizadeh *et al.*, 2018; Jahannama & Zhao, Castle, & Adamik, 2008) (Salehi, 2011) الگوی جذب و نشست قطرات محلول سم دارای بارالکتریکی را مطالعه نموده و دریافتند که دگرگونی در مقدار فاصله بین افشارانک و هدف، در عملکرد افشارانک بی‌تأثیر است. اما به هر حال کاهش این فاصله علاوه بر تقویت نسبی توان باردارکردن قطرات توسط افشارانک، باعث افزایش میزان القای بار الکتریکی خواهد شد. تغییرات ضریب یکنواختی پاشش کل را می‌توان این‌گونه بیان داشت (رابطه (۴)):

$$\begin{aligned} RSFT = 1.659 - 0.00328\beta + 0.0313D \\ + 5.69 \times 10^{-4}\beta \times D \\ + 0.044D \times u \end{aligned} \quad (4)$$

نتایج حاصل از برازش مدل ریاضی درجه دوم بر داده‌های آزمایش در جدول ۴ نشان داده شده است.

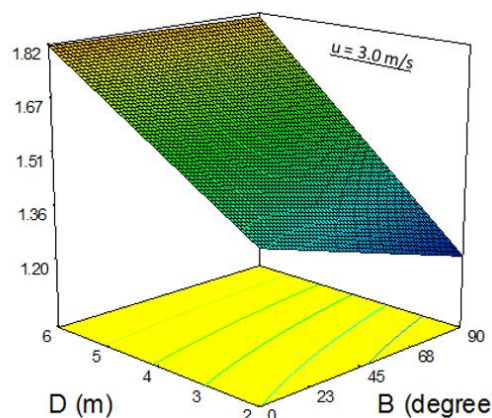
## نتایج و بحث

مطابق با جدول ۲، حداقل مقدار ضریب یکنواختی پاشش کل برابر با  $1/95$  برای زاویه پاشش صفر درجه، فاصله ۶ متری و سرعت  $3/5$  متر بر ثانیه به دست آمده است. این در حالی است که کمترین مقدار ضریب یکنواختی پاشش برابر با  $1/18$  به ترتیب در شرایط آزمایش زاویه قرارگیری هدف  $90$  درجه، فاصله پاشش ۲ متر و سرعت  $2/5$  متر بر ثانیه به دست آمده است. نتایج حاصل از تجزیه واریانس برازش رابطه (۳) بر داده‌های به دست آمده از آزمایش‌های آزمایشگاهی برای یکنواختی پاشش کل در جدول ۳ نشان داده شده است. براساس آنالیز واریانس برای مدل برهمنکش دو فاکتور (مقدار P کمتر از  $0.0001$ ، ضریب تبیین  $9383/0$ ، ضریب تبیین مطلق  $0.910$ ، انحراف استاندارد  $0.0590/0$  و ضریب تغییرات  $790/3\%$ ، می‌توان بیان داشت که این مدل از دقت بالایی در پیش‌بینی مقادیر یکنواختی پاشش کل براخودار می‌باشد. مطابق با این نتایج می‌توان بیان داشت که مولفه‌های خطی زاویه پاشش و فاصله پاشش و همچنین برهمنکش زاویه پاشش فاصله پاشش و فاصله پاشش سرعت هوا دارای تأثیر معنی‌داری بر روی میزان یکنواختی پاشش کل بوده است (*p*<0.05). با این وجود، مولفه خطی سرعت هوا و برهمنکش سرعت هوا×زاویه پاشش فاقد اثر معنی‌داری بر روی تغییرات ضریب یکنواختی پاشش کل بوده است. با توجه به جدول تجزیه واریانس (مقادیر-*F*-value) تأثیر فاصله پاشش بر ضریب یکنواختی پاشش به مراتب بیشتر از اثر زاویه پاشش می‌باشد. نمودار سطح پاسخ برای ضریب

### جدول ۳- نتایج حاصل از برازش مدل ریاضی بر داده‌های به دست آمده از آزمایش‌ها برای ضریب یکنواختی پاشش کل

**Table 3-** The results of mathematical model fitting on derived data from experiments for uniformity coefficient of total spraying

منبع تغییرات Source of Variations	درجه آزادی (df)	میانگین مربعات Mean squares (MS)	F-مقدار- F-Value	مقدار احتمال P-Value
مدل Model	6	0.120	32.97	< 0.0001
زاویه قرارگیری هدف $\beta$	1	0.028	7.98	0.0143
فاصله افشارک تا هدف D	1	0.630	179.01	< 0.0001
سرعت باد u	1	0.0017	0.48	0.5005
اثر متقابل D× $\beta$ (Interaction)	1	0.019	5.97	0.0296
اثر متقابل $\beta$ ×u (Interaction)	1	0.00001	0.004	0.9534
اثر متقابل D×u (Interaction)	1	0.015	4.35	0.0573
باقيمانده Residual	13	0.003		
عدم برازش Lack of Fit	8	0.005	2.37	0.1785
خطای خالص Pure Error	5	0.002		
Cor Total	19			
ضریب تعیین R <sup>2</sup>		0.9383		
ضریب تعیین تعدیل شده Adj R <sup>2</sup>		0.9100		
انحراف معیار Std. Dev.		0.0590		
ضریب تغییرات٪ C.V. %		3.790		
مجموع مربعات خطای پیش‌بینی PRESS		0.480		



**شکل ۵-** نمودار سطح پاسخ برای تغییرات ضریب یکنواختی پاشش کل بر حسب پارامترهای مستقل در سرعت هواي ۳ متر بر ثانیه

**Fig.5.** Response surface graph for uniformity coefficient variations of total spraying based on independent parameters at  $3 \text{ m s}^{-1}$  wind speed

**جدول ۴**- نتایج حاصل از برآذش مدل ریاضی درجه دوم بر داده‌های درصد پوشش کاغذ حساس به آب

**Table 4-** The results of quadratic mathematical model fitting on derived data from water sensitive paper coverage percentage

منبع تغییرات Source of Variations	درجه آزادی (df)	میانگین مربعات Mean squares (MS)	F-مقدار F-Value	مقدار احتمال P-Value
مدل Model	9	131.96	259.04	< 0.0001
زاویه قرارگیری هدف B	1	44.10	86.69	0.0001
فاصله اشانک تا هدف D	1	828.10	1627.79	< 0.0001
سرعت باد U	1	0.10	0.20	0.6669
اثر متقابل D $\times$ B (Interaction)	1	36.13	71.01	< 0.0001
اثر متقابل B $\times$ U (Interaction)	1	3.13	6.14	0.0326
اثر متقابل D $\times$ U (Interaction)	1	0.13	0.25	0.6308
$\beta^2$	1	3.57	7.03	0.0243
$D^2$	1	129.41	254.39	< 0.0001
$u^2$	1	9.51	18.70	0.0015
باقیمانده Residual	10	0.51		
عدم برآذش Lack of Fit	5	0.80	3.78	0.0854
خطای خالص Pure Error	5	0.21		
Cor Total	19			
ضریب تعیین $R^2$	0.9957			
ضریب تعیین تعدیل شده Adj R <sup>2</sup>	0.9919			
انحراف معیار Std. Dev.	0.710			
ضریب تغییرات٪ C.V. %	3.61			
مجموع مربعات خطای پیش‌بینی PRESS	80.60			

معنی داری می‌پاشند. همچنین مولفه خطی سرعت باد، اثر متقابل سرعت باد $\times$ زاویه قرار گیری هدف، اثر متقابل سرعت باد $\times$ فاصله اشانک و مولفه توان دوم زاویه قرار گیری هدف فاقد تاثیر معنی داری بر درصد پوشش می‌پاشند ( $p > 0.05$ ). از میان سه متغیر ورودی، فاصله پاشش دارای بیشترین تاثیر بر روی مقدار سطح پوشش کاغذ حساس به آب می‌باشد. در سطوح بالای زاویه پاشش به خصوص در زاویه پاشش ۹۰ درجه، با افزایش فاصله از ۲ تا ۴ متر، ضریب یکنواختی پاشش از ۱/۱۸ در سرعت باد ۲/۵ متر بر ثانیه به ۱/۸۴ در سرعت باد ۳/۵ متر بر ثانیه افزایش یافته است (شکل ۵). بهطور کلی

مقادیر  $R^2$ ,  $Adj-R^2$ ,  $CV$  برای مدل انطباق داده شده بر داده‌های آزمایش، درصد پوشش سطح کاغذ حساس به آب به ترتیب برابر با ۰/۹۹۵۷، ۰/۹۹۱۹، ۰/۶۱ و ۰/۳۶٪ است. همچنین مقدار عدم برآذش برای مدل ریاضی ذکر شده معنی دار نشده است ( $p > 0.05$ ). این امر بیان گر دقت مناسب مدل در پیش‌بینی مقدار سطح پوشش کاغذ حساس به آب می‌باشد. مطابق این نتایج می‌توان بیان داشت که مولفه‌های خطی زاویه پاشش و فاصله پاشش، مولفه برهم‌کنش زاویه $\times$ فاصله پاشش و توان دوم مولفه‌های فاصله پاشش و سرعت هوا بر روی مقدار پوشش سطح سه‌پاشی دارای تاثیر

بیش تر از ۴/۲ باشد، کیفیت پایین سمپاشی را نشان می‌دهد. همچنین مقدار میانگین نشست قطرات در سانتی‌مترمربع روی هدف، با استفاده از سمپاش الکترودینامیکی بیش تر از الکتروستاتیکی است. با توجه به این که بادبردگی سمپاش الکترودینامیکی کمتر از الکتروستاتیکی محاسبه شد؛ لذا، نشست قطره روی هدف نیز برای این سمپاش بیش تر خواهد بود، در نتیجه از تلفات مواد شیمیایی و آلودگی محیط‌زیست کاسته می‌شود. اضافه می‌نماید که برای سمپاش الکترودینامیکی توزیع اندازه قطره بهتری گزارش شد، به این معنا که تفاوت اندازه قطرات در این سمپاش کمتر است، در نتیجه بادبردگی کمتر و پوشش بهتری خواهد داشت.

### بهینه‌سازی و اعتبارسنجی

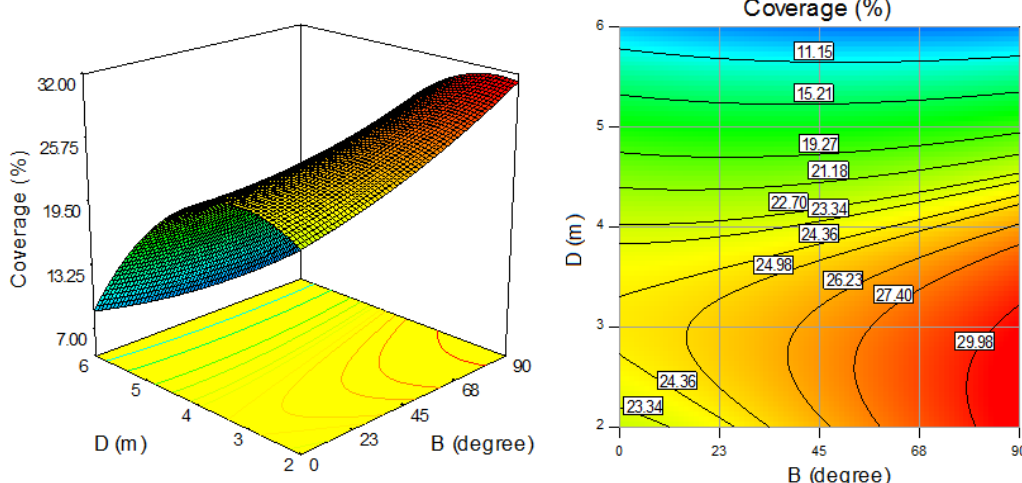
نتایج بدست‌آمده از فرایند بهینه‌سازی و اعتبارسنجی در جدول ۶ نشان داده شده است. مطابق با نتایج بدست‌آمده، شرایط حالت بهینه برای کلاهک الکترودینامیکی ساخته شده برابر خواهد بود با زاویه پاشش ۹۰ درجه، فاصله پاشش  $2/5$  متر و سرعت هوا  $3/5$  متربرثانیه با مطلوبیت  $792/0$ . مقدار یکنواختی پاشش کل و درصد سطح پاشش در حالت عملکرد بهینه به ترتیب برابر با  $1/68$  و  $29/53\%$  می‌باشند. نتایج حاصل از اعتبارسنجی آزمایشگاهی برای شرایط بهینه نشان داد که مقدار یکنواختی پاشش کل و درصد سطح پاشش به ترتیب برابر با  $1/65$  و  $28/27\%$  می‌باشد.

افزایش فاصله افسانک تا هدف منجر به کاهش میزان پوشش سطحی روی هدف خواهد شد. علت این امر، افت شدت میدان الکترودینامیکی و تضعیف القای الکترودینامیکی و افت بیش تر بر درایر افزایش فاصله افسانک و هدف است (*Sasaki et al., 2012; Haji Agha Alizadeh et al., 2018; Zhao et al., 2008*) این در حالی است که در سطوح پایین زاویه پاشش (برای مثال زاویه صفر درجه)، در ابتدا با افزایش فاصله پاشش از ۲ تا ۳ متر، مقدار پاشش افزایش یافته و بعد از آن با شبیه تنی کاهش می‌یابد.

در سمپاشی الکترودینامیکی یکنواختی نشست ذرات در سطح زیرین هدف، نسبتاً مشابه بوده که دلیل آن را می‌توان به تاثیر کمربند الکتریکی تشکیل شده در پیرامون هدف ربط داد که هم‌سو با یافته‌های (*Sasaki et al., 2012; Zhao et al., 2008*) می‌باشد.

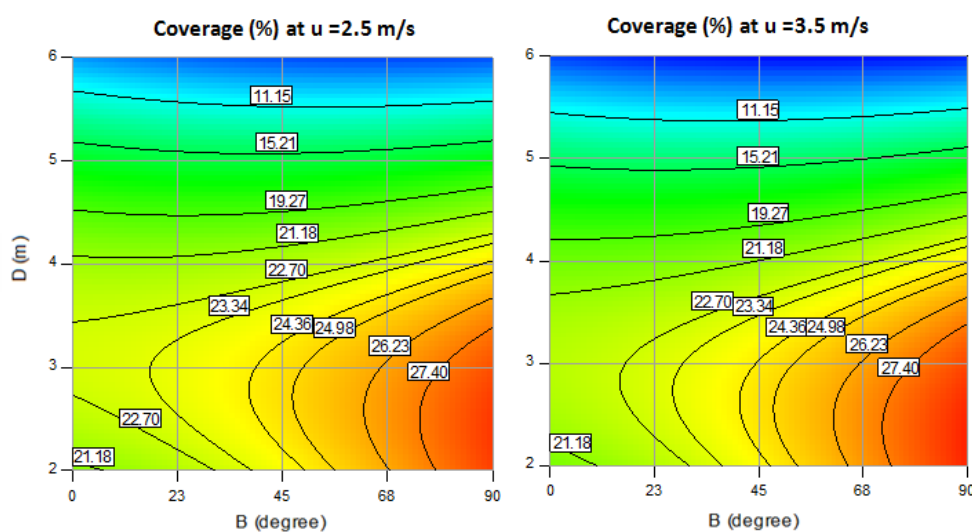
مطابق با کانتورهای تغییرات سطح پاشش (شکل‌های ۶ و ۷) می‌توان بیان داشت برای تمام سطوح سرعت هوا، در محدوده فاصله پاشش  $4$  تا  $6$  متر با افزایش زاویه پاشش، تغییری در مقدار سطح پاشش مشاهده نشده است ( $p>0.05$ ). این در حالی است که در محدوده فاصله پاشش  $2$  الی  $4$  متر، با افزایش زاویه پاشش مقدار سطح پاشش به طور معنی‌داری افزایش یافته است ( $p<0.05$ ). خلاصه‌ای از نتایج بدست‌آمده از تحقیق حاضر و مقایسه آن‌ها با نتایج بدست‌آمده توسط سایر پژوهشگران در جدول ۵ نشان داده شده است.

براساس نتایج بدست‌آمده شاخص یکنواختی پاشش هرچه به عدد ۱ نزدیک‌تر باشد پاشش یکنواخت‌تر خواهد بود و اگر این نسبت



شکل ۶ - نمودار سطح پاسخ و کانتورهای تغییرات درصد سطح پاشش کل بر حسب پارامترهای مستقل در سرعت هوا  $3$  متر بر ثانیه

Fig.6. Response surface graph and contour of total spraying coverage percentage based on the independent parameters at  $3\text{ms}^{-1}$  wind speed



**شکل ۷**- کانتورهای سطح پاسخ تغییرات درصد پاشش کل بر حسب پارامترهای مستقل در سطوح سرعت هوای  $2/5$  و  $3/5$  متر بر ثانیه  
**Fig.7.** Response surface contour of total spraying percentage based on the independent parameters at  $2.5$  and  $3.5 \text{ ms}^{-1}$  wind speeds

**جدول ۵**- خلاصه‌ای از نتایج تحقیق حاضر و مقایسه آن‌ها با نتایج بدست‌آمدۀ توسط سایر پژوهشگران

**Table 5-** Summary of the results of the current research in comparison with the results obtained by other researchers

نتایج تحقیق دیگران در سمت پاش پشتی موتوری ذرهای پاش الکتروستاتیکی سمپاش های الکتروستاتیکی The results of other researchers on electrostatic sprayers	سمپاش پشتی موتوری ذرهای پاش الکتروستاتیکی Mdl SH.CO (تحقیق حاضر) Electrostatic atomizer motorized knapsack sprayer SH-CO (Current research)	سمپاش الکترودینامیکی (تحقیق حاضر) Electrodynamic sprayer (Current research)	محل اندازه‌گیری Location of measurement	پارامتر Parameter
87.5 (Mozafari, 2010)	83.45	99.55	روی هدف on target	مقدار میانگین قطر میانه عددی (NMD) The average value of the numerical median diameter (NMD) ( $\mu\text{m}$ )
78.5 (Mozafari, 2010)	78	77.6	پشت هدف underside of the target	
3.58 (Kumar Narang <i>et al.</i> , 2015)	3.61	3.31	روی هدف on target	مقدار میانگین ضریب یکنواختی پاشش * VMD/NMD
3.73 (Kumar Narang <i>et al.</i> , 2015)	3.93	3.95	پشت هدف underside of the target	The average value of the uniformity coefficient of spraying VMD/NMD
173-364 (Kumar Narang <i>et al.</i> , 2015)	291	332	روی هدف on target	مقدار میانگین نشست قطرات در هر سانتی‌متر مربع (برحسب تعداد قطرات)
38-65 (Mostafaei Minagh <i>et al.</i> , 2008)	64	55	پشت هدف underside of the target	The average droplet deposition per square centimeter (in terms of the number of droplets)
1.6 (Mishra <i>et al.</i> , 2014)	1.72	1.57	روی هدف on target	مقدار میانگین فاکتور توزیع اندازه قطره The average value of the relative diameter span factor (RSF)

\* یکنواختی پاشش برای سمپاش الکترودینامیکی اندکی بیشتر از سمپاش الکتروستاتیکی بود.

\* The spray uniformity of the electrodynamic sprayer was slightly higher than the electrostatic sprayer.

**جدول ۶** - نتایج حاصل از بهینه‌سازی و اعتبارسنجی  
**Table 6** - The results of optimization and validation

نتایج بدست‌آمده از اعتبارسنجی Validation results	مطلوبیت تابع Desirability function	نتایج بدست‌آمده از نرم‌افزار The results obtained from the software	نقطه بهینه بدست‌آمده The obtained optimal point
Cov (%)	RSFT	Cov (%)	RSFT
28.27	1.65	0.792	29.53

پاشش سرعت هوا دارای تاثیر معنی‌داری بر روی میزان یکنواختی پاشش کل بوده است ( $p<0.05$ )؛ ولی سرعت هوا و برهمنش سرعت هوا زاویه پاشش فاقد اثر معنی‌داری بر روی تغییرات ضربی یکنواختی پاشش کل بودند. تاثیر فاصله پاشش بر ضربی یکنواختی پاشش به مراتب بیشتر از اثر زاویه پاشش بود. در زاویه پاشش ۹۰ درجه، با افزایش فاصله از ۲ تا ۴ متر، ضربی یکنواختی پاشش از ۱/۱۸ در سرعت باد ۲/۵ متر بر ثانیه به ۱/۸۴ در سرعت باد ۳/۵ متر بر ثانیه افزایش یافته است. افزایش فاصله افسانک تا هدف، میزان پوشش سطحی روی هدف را کاهش داد. یکنواختی نشست ذرات در سطح زیرین هدف، در سماپاشی الکترودینامیکی نسبتاً یکسان بود. برای تمام سطوح سرعت هوا، در محدوده فاصله پاشش ۴ تا ۶ متر با افزایش زاویه پاشش، تغییری در مقدار سطح پاشش مشاهده نشد و این در حالی است که در محدوده فاصله پاشش ۲ الی ۴ متر، با افزایش زاویه پاشش مقدار سطح پاشش به‌طور معنی‌داری افزایش یافته است ( $p<0.05$ ).

نتایج تحقیق منجر به تعیین سرعت ۳/۵ متر بر ثانیه باد، فاصله ۲/۵ متر افسانک و زاویه پاشش ۹۰ درجه با مطلوبیت ۰/۷۹۲ به عنوان شرایط بهینه عملکرد کلاهک الکترودینامیکی سماپاش مورد نظر گردید.

### نتیجه‌گیری

به‌منظور بهبود عملکرد سماپاش پشتی موتوری ذره‌ای‌پاش، کلاهک پاشش الکترودینامیکی طراحی و ساخته شد و با استفاده از طرح مرکب مرکزی روش سطح پاسخ عملکرد آن بهینه‌سازی شد. در طی فرآیند تحقیق، تاثیر پارامترهای مستقل فاصله افسانک تا هدف، زاویه استقرار هدف و سرعت باد بر روی متغیرهای یکنواختی پاشش، درصد سطح پاشش و نیز درصد تغییرات ضربی پاشش کل مورد بحث و بررسی قرار گرفت. نتایج پژوهش نشان داد که ضربی یکنواختی پاشش با افزایش فاصله پاشش و کاهش زاویه پاشش، افزایش یافته است. به‌طور کلی به علت به‌هم پیوستگی کمتر قطرات ریز، قطر میانه حجمی قطرات نشست کرده روی سطح زیرین هدف، نسبت به سطح رویی هدف دارای مقادیر بسیار کمتر بوده که اثرات مثبتی از جمله کم شدن میزان محلول مصرفی خواهد داشت. به دلیل احتمال برخورد قطرات کوچک با یکدیگر در سطح رویی و تشکیل قطرات بزرگ‌تر و همچنین نابسامانی در نشست قطرات، میزان یکنواختی نشست کمتر است.

براساس نتایج بدست‌آمده پارامترهای زاویه پاشش و فاصله پاشش و همچنین برهمنش زاویه پاشش فاصله پاشش و فاصله

### References

- Ahmad, F., Khaliq, A., Qiu, B., & Sultan, M. (2021). *Advancements of spraying technology in agriculture*. In book: Technology in Agriculture (pp.19). Publisher: IntechOpen Limited, London, UK. <https://doi.org/10.5772/intechopen.98500>
- Amirshaghghi, F., & Safari, M. (2016). Comparison and technical evaluation of electrostatic, micronair and tractor mounted lance sprayers in order to control (*Carpocasa pomonella L.*) in apple orchards. *Journal of Agricultural Machinery*, 6(2), 376-383. (in Persian with English abstract). <https://doi.org/10.22067/jam.v6i2.36084>
- Asaei, H., Jafari, A., & Loghavi, M. (2016). Development and evaluation of a targeted orchard sprayer using machine vision technology. *Journal of Agricultural Machinery*, 6(2), 362-375. (in Persian with English abstract). <https://doi.org/10.22067/jam.v6i2.37220>
- Bayvel, L. P., & Orzechowski, Z. (1993). *Liquid atomization*. Taylor & Francis, Washington, DC.462P.
- Behzadi Pour, F., Ghasemi Nejad Raeeni, M., Asoodar, M. A., Marzban, A., & Abdanan Mehdizadeh, S. (2017). Study of the operational parameters of crops turbine sprayer (turbo liner) on spray quality and diameter of droplets, using image processing. *Journal of Agricultural Machinery*, 7(1), 61-72. (in Persian with English abstract). <https://doi.org/10.22067/jam.v7i1.48194>
- Cunha, M., Carvalho, C., & Marcal, A. R. S. (2012). Assessing the ability of image processing software to analysis spray quality on water-sensitive papers used as artificial targets. *Biosystems Engineering*, 3(1), 11-23. <https://doi.org/10.1016/j.biosystemseng.2011.10.002>
- Derringer, G., & Suich, R. (1980) (Published online: 22 Feb 2018). Simultaneous optimization of several response

- variables. *Journal of Quality Technology*, 12(4), 214-219. <https://doi.org/10.1080/00224065.1980.11980968> (accessed 30-01, 2023).
- 8. Farooq, M., Walker, T. W., Heintschel, B. P., & English, T. (2010). Impact of electrostatic and conventional sprayers characteristics on dispersion of barrier spray. *Journal of the American Mosquito Control Association*, 26(4), 422-429. <https://doi.org/10.2987/09-5891.1>
  - 9. Ferguson, J. C., O'Donnell, Ch. C., Chauhan, B. S., Adkins, S. W., Kruger, G. R., Wang, R., Ferreira, P. H. U., & Hewitt, A. J. (2015). Determining the uniformity and consistency of droplet size across spray drift reducing nozzles in a wind tunnel. *Crop Protection*, 76, 1-6. <https://doi.org/10.1016/j.cropro.2015.06.008>
  - 10. Haji Agha Alizadeh, H., Pourvosoughi Gregari, H., & Bakhtiari, A. A. (2018). Evaluation of the functional factors of electrostatic spraying on the top and back surfaces of leaves, using image processing. *Iranian Journal of Biosystem Engineering*, 47(1), 39-49. <https://doi.org/10.22059/ijbse.2016.58476>
  - 11. Halliday, D., Resnick, R., & Walker, J. (2010). *Fundamentals of Physics*, 9<sup>th</sup> Edition, Wiley. 1136P.
  - 12. Hoffmann, W. C., & Hewitt, A. J. (2005). Comparison of three imaging systems for water sensitive papers. *American Society of Agricultural Engineers*, 21(6), 961-964. <https://doi.org/10.13031/2013.20026>
  - 13. Harrington, E. C. (1965). The Desirability Function. *Industrial Quality Control*, 21, 494-498.
  - 14. Indu Baghel, A. S., Bhardwaj, A., & Ibrahim, W. (2022). Optimization of pesticides spray on crops in agriculture using machine learning. *Computational Intelligence and Neuroscience*, Article ID 9408535, 10 pages. <https://doi.org/10.1155/2022/9408535>
  - 15. Jahannama, M. R., & Salehi, H. (2011). Patterns of spray attraction and deposition due to electrical charging. *Sharif Mechanical Engineering Journal*, 3-27(1), 3-14. (in Persian with English abstract).
  - 16. Kathleen, M., Carley, N., Kamneva, Y., & Reminga, J. (2004). *Response surface methodology. CASOS*. Technical Report. CMU-ISRI-04, 136P.
  - 17. Kumar Narang, M., Mishra, A., Kumar, V., Singh Thakur, S., & Singh, M. (2015). Comparative evaluation of spraying technology in cotton belt of Punjab (India). *Journal of Agricultural Engineering*, 1, 61-71.
  - 18. Matthews, G., Bateman, A., & Miller, P. (2014). *Pesticide Application Methods*, 4<sup>th</sup> Edition. John Wiley and Sons, Ltd. 536 P.
  - 19. Mahmoudi, F., Heidarbeigi, K., & Azizpanah, A. (2019). Evaluation of the effect of pressure and wind speed on the amount of drift through the image processing method. *Iranian Journal of Biosystem Engineering*, 50, 213-221. (in Persian with English abstract). <https://doi.org/10.22059/ijbse.2018.262469.665076>
  - 20. Mozafari, M. (2010). *Technical and economic investigation and comparison of the performance of sprayers with different mechanisms and their effect on onion thrips control*. Agricultural Engineering Research Institute, Karaj, Iran. 46P. (In Persian).
  - 21. McNearney, E. J., & Hons, B. E. (2020). *Analysis of droplet-target interactions in electrostatically charged spraying systems*. A Thesis of Master of Engineering, in Electrical and Electronic Engineering, University of Canterbury, Christchurch, New Zealand. 94 P.
  - 22. Mishra, P. K., Singh, M., Sharma, A., Sharma, K., & Singh, B. (2014). Studies on effect of electrostatic spraying in orchards. *Agricultural Engineering International, CIGR Journal*, 16(3), 60-69.
  - 23. Mostafaei Minagh, B., Ghobadian, B., & Jahannama, M. R. (2008). Design and development of a greenhouse electrostatic sprayer and evaluation. *Journal of Agricultural Science*, 18(1), 229-242. (in Persian with English abstract).
  - 24. Mousavi, A. M., & Baradaran Motie, J. (2021). *Design of an electrostatic attachment set for use in drone sprayers*. 13<sup>th</sup> National Congress on Biosystems Engineering and Agricultural Mechanization, Tehran, Iran.
  - 25. Patel, M. K. (2016). Technological improvements in electrostatic spraying and its impact to agriculture during the last decade and future research perspectives– A review. *Engineering in Agriculture, Environment and Food*, 9(1), 92-100. <https://doi.org/10.1016/j.eaef.2015.09.006>
  - 26. Moltó, E., Chueca, P., Garcerá, C., Balsari, P., Gil, E., & van de Zande, J. C. (2017). Engineering approaches for reducing spray drift. *Biosystems Engineering*, 154, 1-2. <https://doi.org/10.1016/j.biosystemseng.2017.01.002>
  - 27. Sasaki, S. R., Teixeira, M. M., Fernandes, H. C., Monterio, P. M. B., Rodrigues, D. E., & Alvarenga, C. B. (2012). *Effect of space on droplets electrical charge during electrostatic spraying*. International Conference of Agricultural Engineering- CIGR-AgEng: agriculture and engineering for a healthier life, Valencia, Spain, 8-12 July 2012.
  - 28. Sayinci, B., Bastaban, S., & Sánchez-Hermosilla, J. (2012). Determination of optimal spot roundness variation interval for droplet size analysis on water sensitive paper. *Journal of Agricultural Science and Technology*, 14, 285-298. <https://dorl.net/dor/20.1001.1.16807073.2012.14.2.11.3>
  - 29. Wittek-Krowiak, A., Chojnacka, K., Podstawczyk, D., Dawiec, A., & Pokomeda, K. (2014). Application of response surface methodology and artificial neural network methods in modeling and optimization of biosorption process. *Bioresource Technology*, 160, 150-160. <https://doi.org/10.1016/j.biortech.2014.01.021>
  - 30. Yang, Z., Niu, M., Li, J., Xu, X., Xu, J., & Chen, Z. (2015). Design and experiment of an electrostatic sprayer with online mixing system for orchard. *Transactions of the Chinese Society of Agricultural Engineering*, 31, 60-67. <https://doi.org/10.11975/j.issn.1002-6819.2015.21.008>

- 
31. Zhang, Y. L., Lian, Q., & Zhang, W. (2017). Design and test of a six-rotor unmanned aerial vehicle (UAV) electrostatic spraying system for crop protection. *International Journal of Agricultural and Biological Engineering*, 10, 68-76. <https://doi.org/10.25165/j.ijabe.20171006.3460>
  32. Zhao, S., Castle, G. S. P., & Adamiak, K. (2008). Factors affecting deposition in electrostatic pesticide spraying. *Journal of Electrostatics*, 66(11-12), 594-601. <https://doi.org/10.1016/j.elstat.2008.06.009>